



# سیزدهمین کنفرانس شبکه های توزیع نیروی برق

## ۱۱ و ۱۲ اردیبهشت ۱۳۸۷ - گیلان



### کاهش اقتصادی تلفات در شبکه های توزیع با انتخاب بهینه نوع هادی ها و محل و ظرفیت بهینه بانکهای خازنی با در نظر گرفتن اثرات هارمونیکی

وحید مروستی      دکتر حسین عسکریان ابیانه  
کاظم مظلومی      kmazlumi@aut.ac.ir      askarian@aut.ac.ir      vahid.marvasti@gmail.com  
دانشگاه صنعتی امیرکبیر (قطب علمی قدرت)

کلید واژه- انتخاب هادی، بهینه سازی، جایابی خازن، کاهش تلفات، هارمونیک، هزینه اقتصادی.

اهمیت جلوگیری از هدرروی این سرمایه ملی را روز بروز برای ما روشن تر ساخته و طراحان سیستم های الکتریکی را وادار می سازد تا شبکه های الکتریکی با کمترین تلفات را بوجود آورند. تحقیقات در این زمینه نشان می دهد که نباید تنها به دنبال افزایش بودجه سالانه وزارت خانه یا سازمان برای افزایش میزان تولید برق بود، بلکه باید نسبت به کاهش تلفات برق در خطوط انتقال و فوق توزیع و توزیع نیز واکنش مقتضی نشان داد. زیرا کاهش تلفات بسیار کم هزینه تر از افزایش تولید می باشد. کاهش تلفات در سیستم های توزیع که بیشترین تلفات را شامل می شوند، به روشهای گوناگونی صورت می گیرد که یکی از آنها خازن گذاری بهینه و دیگری انتخاب بهینه هادی در این خازن گذاری بهینه و دیگری انتخاب بهینه هادی در این سیستم ها می باشد<sup>[۱]</sup>. مقالات متعددی در زمینه هر کدام از این روشهای ارائه شده است ولی هیچکدام همزمان این دو روش را جهت بهینه سازی سیستم توزیع به کار نبرده اند. در این مقاله علاوه بر استفاده توأمان از دو روش مذکور، اثر غیرخطی بارها نیز در بهینه سازی در نظر گرفته شده است. امروزه به علت توسعه بارهای غیرخطی، اعوجاجات هارمونیکی توسط این بارها به بقیه شبکه تزریق و با توجه به امپدانس شبکه به صورت

چکیده - در این مقاله چگونگی تعیین مقدار و جایابی بهینه بانکهای ثابت خازنی و نیز چگونگی انتخاب نوع و مقدار سطح قطعه هادی ها در خطوط توزیع شعاعی با حضور بارهای خطی و غیرخطی به منظور کاهش اقتصادی تلفات و بهبود پروفیل ولتاژ نشان داده می شود. تابع هدف شامل ارزش اقتصادی تلفات توان و قیمت خازن ها و هادی ها با قیودی از جمله محدودیت ولتاژ، حداقل جریان عبوری مجاز از هادی ها، مقدار اعوجاج هارمونیکی کل مجاز و ظرفیت خازن ها و هادی های موجود و قابل استفاده می باشد. مقدار هارمونیکهای بار بطور دقیق در محاسبات وارد و در نهایت نتیجه کلی و دقیق اجرای این محاسبات روی یک سیستم توزیع شعاعی نمونه ۲۷ شینه با استفاده از الگوریتم بهینه سازی ژنتیک نشان داده شده است.

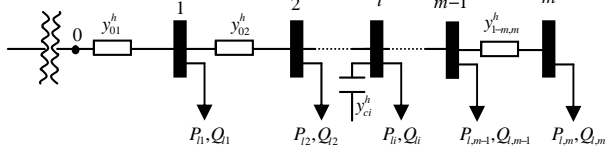
#### ۱- مقدمه

کاهش اقتصادی تلفات در سیستمهای قدرت یکی از مباحث مهم در اقتصاد کشور بشمار می رود. گسترش روز افزون شبکه های توزیع و فوق توزیع و سرمایه گذاری اقتصادی در جهت توسعه آن و نیز بالا رفتن هزینه تولید و سوخت در نیروگاه ها

همچنین محدودیتهای مجاز برای هادی‌ها در سیستم توزیع به همراه ارزش اقتصادی آنها در نظر گرفته شده است. به علت گسته بودن طبیعت دستگاه‌های جبران کننده توان راکتیو و نیز هادی‌ها، بهینه سازی باید شامل برنامه غیرخطی شامل ترکیب متغیرهای پیوسته و گسسته باشد که به علت کم بودن زمان همگرایی در الگوریتم ژنتیک در این مقاله جهت حل مسئله بهینه سازی از این الگوریتم استفاده شده است. در نهایت با پیاده سازی این روش ضمن بدست آوردن پروفیل مناسب برای ولتاژ و جریان، حداکثر کاهش اقتصادی تلفات و نیز جوابی قابل انعطاف در مورد متغیرهای گسسته حاصل شده است. مزایای این روش که کاهش اقتصادی تلفات بیشتری نسبت به وضعیت موجود دارد با مقایسه نتایج این روش با وضعیت موجود نشان داده شده است.

## ۲- مدلسازی سیستم در فرکانس‌های پایه و هارمونیکی

در این قسمت چگونگی مدلسازی در فرکانس‌های پایه و هارمونیکی بر روی یک سیستم مورد مطالعه نموده مانند یک فیدر توزیع شعاعی با تعداد  $m$  شین که مطابق شکل (۱) می‌باشد نشان داده شده است.



شکل ۱- دیاگرام تک خطی از شبکه توزیع شعاعی

برای مدل کردن سیستم توزیع شکل (۱)، در فرکانس‌های پایه و هارمونیکی، از روابط و فرضیات مرجع [۱۱] و جهت پخش بار هارمونیکی از مفاهیم مرجع [۱۲] استفاده شده است. اغلب تحلیلهای هارمونیکی با استفاده از تکنیکهای حل مدارات خطی در حالت ماندگار انجام می‌گیرد. بارهای خطی عموماً شامل یک مقاومت موازی با یک راکتانس می‌باشند ولی منابع هارمونیکی که عناصر غیرخطی می‌باشند به صورت منابع تزریقی به شبکه خطی همراه با یک عنصر پسیو مدلسازی می‌شوند، بنابراین برای اغلب مطالعات پخش بار هارمونیکی، منابع هارمونیکی را می‌توان به صورت منابع ساده جریان هارمونیکی مدلسازی نمود. به منظور تحلیل و مدلسازی کامپیوترا منابع هارمونیکی، مرجع [۱۳] به کار برده شده است.

مراحل مدلسازی سیستم به صورت زیر می‌باشد:

- (۱) توان راکتیو و راکتیو هر شین در فرکانس پایه از رابطه‌های (۱) تا (۴) بدست می‌آید.

اعوجاجات ولتاژ هارمونیکی به تجهیزات اعمال می‌شود. از مهمترین تجهیزاتی که تحت تأثیر این آلودگی هارمونیکی قرار می‌گیرد خازنهای مورد استفاده در شبکه می‌باشد. خازنهای موازی بطور گسترده در فیدرهای اولیه توزیع نصب می‌گردد تا بتوان از طریق اصلاح ضربی توان و همچنین آزاد کردن خطوط از عبور جریان راکتیو به دو هدف بهبود پروفایل ولتاژ و کاهش تلفات دست یافت. گرچه خازنهای تجهیزاتی هستند که خود تولید هارمونیک نمی‌کنند، لیکن بر روی هارمونیکهای موجود ناشی از بارهای غیرخطی تأثیراتی خاصی را بر جا می‌گذارند که لازم است اثرات آنها مطالعه شود. اولین اثر خازن، منحرف کردن مسیر هارمونیک جریان از مسیر اصلی یعنی از منابع تولید کننده هارمونیک به سوی شبکه می‌باشد و اثر دیگر آن اینست که می‌تواند باعث ایجاد تشدید در فرکانس طبیعی سیستم شود. بنابراین می‌توان با جایگذاری مناسب خازنهای از نقطه نظر محل نصب و اندازه آن، تلاش کرد که رزونانس به فرکانس‌های غیر مخرب انتقال یابد. به این منظور ضروری است انتخاب بهینه و جایابی بانکهای خازنی با لحاظ کردن سطوح هارمونیکی شینها بطور یکجا صورت بگیرد. اکثر تکنیکهای جایابی خازن با فرض شرایط سینوسی و صرفنظر از تأثیر هارمونیکها انجام شده است [۲,۳,۴]. تحقیقات محدودی با در نظر گرفتن اثر هارمونیکهای روی تلفات سیستم شعاعی برای جایابی بهینه خازن، صورت گرفته است که در اکثر آنها تنها ولتاژ ورودی شبکه، غیرسینوسی فرض و به حل مسئله پرداخته شده است [۴,۵,۶,۷]. انتخاب بهینه نوع و سطح مقطع هادی‌ها در طراحی و بهینه سازی سیستم‌های توزیع نیز یک مقوله مهم در طراحی این سیستم‌ها بشمار می‌رود. تحقیقات محدودی نیز در زمینه انتخاب بهینه هادی‌ها در سیستم‌های توزیع صورت گرفته که به طور عمده در بیشتر آنها بر روی کاهش اقتصادی تلفات از طریق بهبود پروفایل هادی تمرکز شده است [۱۰,۹,۸]. در این مقاله تابع هدفی تشکیل می‌شود تا بتوان به حل مسئله بهینه سازی جایابی و انتخاب نوع هادی‌ها و محل آنها و همچنین جایابی بهینه و تعیین مقدار بانکهای خازنی بمنظور نصب در فیدرهای توزیع با در نظر گرفتن ارزش اقتصادی خازن‌ها و هادی‌ها و حفظ محدودیتهای هارمونیکی کیفیت توان و ولتاژ و جریان مجاز و محدودیتهای مجاز پرداخت. در این مقاله، کارکرد مصارف، بصورت خطی و غیرخطی در نظر گرفته شده و مقدار تزریق جریان هارمونیکی هر بار در محاسبات بطور کامل وارد می‌شود تا شبیه سازی را بتوان بطور دقیق برای هر نوع بار غیرخطی انجام داد همچنین اثر غیرخطی بارها روی کلیه شین‌ها و نه فقط چند شین بخصوص بررسی می‌گردد. در این مقاله

$$I_i^h = C(h) I_i^1 \quad (12)$$

$$\begin{bmatrix} Y_{11}^h & Y_{12}^h & 0 & \dots & \dots & 0 \\ Y_{21}^h & Y_{22}^h & \dots & \dots & \dots & \dots \\ 0 & \dots & \dots & \dots & \dots & \dots \\ \dots & \dots & \dots & \dots & \dots & 0 \\ \dots & \dots & \dots & Y_{m-1,m-1}^h & Y_{m-1,m}^h & V_{m-1}^h \\ 0 & \dots & 0 & Y_{m,m-1}^h & Y_{m,m}^h & V_m^h \end{bmatrix} = \begin{bmatrix} V_1^h \\ V_2^h \\ \vdots \\ \vdots \\ I_1^h \\ I_2^h \\ \vdots \\ I_{m-1}^h \\ I_m^h \end{bmatrix} \quad (13)$$

$$Y_{ij}^h = \begin{cases} -y_{ij}^h & i \neq j \\ y_{i-1,i}^h + y_{i+1,i}^h + y_{li}^h + y_{ci}^h & i = j \end{cases} \quad (14)$$

$$V_{rms(i)} = |V_i| = \sqrt{\sum_{h=1}^H |V_i^h|^2} \quad (15)$$

$$THD_i(\%) = \frac{100}{|V_i^1|} \sqrt{\sum_{h=2}^H |V_i^h|^2} \quad (16)$$

که در این معادلات داریم:

$$\begin{aligned} V_i^1 &\text{ ولتاژ در فرکانس پایه مربوط به شین } i \\ \theta_{ij} &\text{ اندازه زاویه ادمیتانس مابین شین } i \text{ و } j \quad (rad) \end{aligned}$$

$$\text{زاویه ولتاژ شین } i \text{ و } j \quad (rad)$$

$$G_{ii}, B_{ii} \quad \text{کندوکتانس و سوسپیتانس خودی شین } i$$

$$G_{ij}, B_{ij} \quad \text{کندوکتانس و سوسپیتانس متقابل مابین شین } i \text{ و } j$$

$$P_i, Q_i \quad \text{توانهای اکتیو و راکتیو بار در شین } i$$

$$P_{li}, Q_{li} \quad \text{توانهای اکتیو و راکتیو خطی بار در شین } i$$

$$P_{hi}, Q_{hi} \quad \text{توانهای اکتیو و راکتیو غیرخطی بار در شین } i \text{ و } i+1$$

$$R_{i,i+1}, X_{i,i+1} \quad \text{مقاومت راکتانس خط مابین شین } i \text{ و } i+1$$

$$h \quad \text{مرتبه هارمونیک مورد نظر}$$

$$H \quad \text{بالاترین مرتبه هارمونیک مدل نظر}$$

$$C(h) \quad \text{درصد جریان منابع جریان هارمونیک تولید شده توسط} \\ \text{هر مشتری نسبت به مؤلفه اصلی}$$

### ۳-تابع هدف و قیود آن

۲) ادمیتانس در فرکانس قدرت با استفاده از معادله (۵) و (۶) بدست می آید. اندازه و زاویه ولتاژ هر شین در فرکانس اصلی توسط معادله پخش بار به روش نیوتون-رافسون محاسبه شده و تلفات توان در فرکانس اصلی از رابطه (۷) محاسبه می گردد.

۳) ادمیتانس های بار و خازنهای موازی و خطوط در فرکانس های هارمونیکی مرتبه  $h$  به ترتیب توسط معادلات (۸) تا (۱۰) محاسبه می گردد.

۴) جریانهای تزریقی هارمونیکی توسط بارهای غیرخطی از رابطه (۱۱) و (۱۲) بدست می آید. رابطه (۱۱) جریان هارمونیکی تزریقی کل به هر شین می باشد و رابطه (۱۲) جریان هارمونیکی مربوط به هر هارمونیک در شین مربوطه است که از  $A(h)$  آزمایش و آنالیز فوریه بر روی بار همه مشتریان در طول فیدر توزیع برای یک دوره زمانی ثابت بدست آمده است [۱۴].

۵) مقدار ولتاژ هارمونیکی هر شین از حل معادله ماتریسی (۱۳) بدست می آید که در آن  $Y_{ij}$  برابر معادله (۱۴) می باشد.

۶) ولتاژ مؤثر ( $rms$ ) و مقدار اعوجاج کل ( $THD$ ) در مورد هر شین به ترتیب از روابط (۱۵) تا (۱۶) محاسبه می گردد.

$$P_i = |V_i^1|^2 G_{ii} + \sum_{j=1, j \neq i}^m |V_i^1 V_j^1 Y_{ij}^1| \cos(\theta_{ij}^1 + \delta_j^1 - \delta_i^1) \quad (1)$$

$$Q_i = -|V_i^1|^2 B_{ii} + \sum_{j=1, j \neq i}^m |V_i^1 V_j^1 Y_{ij}^1| \sin(\theta_{ij}^1 + \delta_j^1 - \delta_i^1) \quad (2)$$

که در آن:

$$P_i = P_{li} + P_{hi} \quad (3)$$

$$Q_i = Q_{li} + Q_{hi} \quad (4)$$

$$Y_{ij}^1 = |Y_{ij}^1| \angle \theta_{ij}^1 = \begin{cases} -y_{ij}^1 & i \neq j \\ y_{i-1,i}^1 + y_{i+1,i}^1 + y_{ci}^1 & i = j \end{cases} \quad (5)$$

$$Y_{ii} = G_{ii} + jB_{ii} \quad (6)$$

$$P_{loss(i,i+1)}^1 = R_{i,i+1} [V_{i+1}^1 - V_i^1] |y_{i,i+1}^1|^2 \quad (7)$$

$$y_{li}^h = \frac{P_{li}}{|V_i^1|^2} - j \frac{Q_{li}}{|V_i^1|^2} \quad (8)$$

$$y_{ci}^h = h y_{ci}^1 \quad (9)$$

$$y_{i,i+1}^h = (R_{i,i+1} + jhX_{i,i+1})^{-1} \quad (10)$$

$$I_i^1 = \left[ \frac{P_{li} + jQ_{li}}{V_i^1} \right]^* \quad (11)$$

$P_{loss}$  تلفات توان کل

$Q_j^c$  اندازه خازن موازی نصب شده در شین  $j$

$m$  و  $J$  تعداد کل شین ها و تعداد شین های منتخب جهت خازن گذاری

$L$  تعداد کل هادی های موجود در شبکه

$(R/Km)$   $Z_l$  ارزش اقتصادی هادی قرار گرفته در جایگاه  $l$  ام ( $Km$ )

$Length_l$  طول هادی واقع شده در جایگاه  $l$  ام ( $Km$ )

$F$  تابع هزینه سالانه کل

$V_{min}$  مینیمم مقدار ولتاژ مؤثر مجاز

$V_{max}$  ماکزیمم مقدار ولتاژ مؤثر مجاز

$K_p$  ارزش سالانه بر واحد تلفات توان

جدول: اطلاعات بار و طول خطوط شبکه

Section	From	To	Conductor Type	Length [Km]	Load of Ending Node [KVA]	Power Factor	Non-linear (%)
۱	۰	۱	-	-	.	-	-
۲	۱	۲	-	-	.	-	-
۳	۲	۳	۱	۴/۷۳۵۴	.	-	-
۴	۳	۴	۱	۲/۵۷۱۲	۱۳۵۰	.۰/۸	۵۵/۷
۵	۴	۵	۱	۷/۳۱۲۳	.	.	۱۸/۹
۶	۵	۶	۱	۳/۳۳۸۱	۱۳۰۰	.۰/۹۵	۳۲
۷	۶	۷	۲	۴/۵۲۱۹	.	.	۴/۷
۸	۷	۸	۲	۱۰/۰۵۰۷	۱۲۵۰	.۰/۹	۱/۹
۹	۸	۹	۲	۱۱/۷۵۶۷	.	.	۳۸/۲
۱۰	۹	۱۰	۲	۴/۷۳۵۴	۱۳۱۳	.۰/۸	۴/۵
۱۱	۱۰	۱۱	۲	۲/۵۷۱۲	۱۱۰۰	.۰/۹۵	۴/۰
۱۲	۱۱	۱۲	۳	۷/۳۱۲۳	۴۰۰	.۰/۷۵	۹۲/۱
۱۳	۱۲	۱۳	۳	۳/۳۳۸۱	۱۳۵۰	.۰/۸۵	۱۸/۲
۱۴	۱۳	۱۴	۳	۴/۵۲۱۹	۱۲۲۵	.۰/۸۲	۳۵/۱
۱۵	۱۴	۱۵	۳	۱۰/۰۵۰۷	۱۱۲۵	.۰/۹۳	۱۸/۳
۱۶	۱۵	۱۶	۳	۱۱/۷۵۶۷	۱۳۰۰	.۰/۷۵	۱۲/۴
۱۷	۱۶	۱۷	۲	۴/۷۳۵۴	۹۰۰	.۰/۹	۶/۲
۱۸	۱۷	۱۸	۲	۲/۵۷۱۲	۱۱۵۰	.۰/۸	۴/۵
۱۹	۱۸	۱۹	۳	۷/۳۱۲۳	۳۵۰	.۰/۸۵	۲۶/۱
۲۰	۱۹	۲۰	۳	۳/۳۳۸۱	۴۰۰	.۰/۸	۱/۲
۲۱	۲۰	۲۱	۳	۴/۵۲۱۹	۱۱۰۰	.۰/۸	۲/۲
۲۲	۲۱	۲۲	۳	۱۰/۰۵۰۷	۱۲۵	.۰/۹۳	۵۳/۱
۲۳	۲۲	۲۳	۳	۱۱/۷۵۶۷	۹۶۵	.۰/۸۹	۲۲/۳
۲۴	۲۳	۲۴	۳	۴/۷۳۵۴	۹۸۲	.۰/۸۸	۳/۵
۲۵	۲۴	۲۵	۳	۲/۵۷۱۲	۱۳۰۰	.۰/۹	۸/۶
۲۶	۲۵	۲۶	۴	۷/۳۱۲۳	۸۷۵	.۰/۷۵	۵/۳
۲۷	۲۶	۲۷	۴	۳/۳۳۸۱	۲۰۰	.۰/۹	۱۳/۴

تلفات توان حقیقی کل برای شبکه نمونه شکل (۱) از رابطه (۱۷) محاسبه می شود. تابع هدف در واقع هزینه اقتصادی کل سالانه سیستم که در واقع مجموع ارزش اقتصادی تلفات توان و هزینه مربوط به نصب خازن ها و هادی ها می باشد در معادله شماره (۱۸) آورده شده که باید بهینه یا مینیمم شود. قیودی شامل محدودیتهای ولتاژ شین ها و حداکثر جریان مجاز هادی های منتخب که در معادله (۲۰) و (۲۱) و مقدار اعوجاج کل ( $THD$ ) هر شین که در معادله (۲۲) آورده شده نیز در نظر گرفته می شوند که به صورت توابع پنالتی به تابع هدف اضافه شده اند. البته باید توجه داشت که تعیین دقیق ضرائب پنالتی بطور جداگانه برای هر قسمت تابع هدف در بهینه سازی مهم و ضروری است زیرا بسته به اهمیت بهینه سازی هر جزء این می توان با این ضرائب درجه اهمیت بهینه سازی هر جزء را نسبت به جزء دیگر در تابع هدف مشخص کرده و بهینه سازی مطلوب بررسیم. در تابع هدف (۱۸) که شامل هفت عبارت می باشد عبارت سوم یعنی ارزش اقتصادی هادیها و عبارت ششم که بیانگر محدودیت اعوجاج کل شین ها می باشد و همچنین عبارت هفتم که بیانگر محدودیت جریان عبوری مجاز از هادی هاست نسبت به توابع هدف موجود اضافه گردیده است. این موضوع بیانگر جامعیت تابع هدف جدید می باشد.

$$P_{loss} = \sum_{h=1}^H \left( \sum_{i=0}^{m-1} P_{loss}^h(i,i+1) \right) \quad (17)$$

$$\begin{aligned} F = K_p P_{loss} + \sum_{j=1}^J K_j Q_j^c + \sum_{l=3}^L Z_l \times Length_l + \\ + \sum_{i=1}^m \{ \max(0, V_{min} - V_i)^2 + \max(0, V_i - V_{max})^2 + \end{aligned} \quad (18)$$

$$+ \max(0, THD_i - THD_{max})^2 \} + \sum_{l=3}^L (I_l - I_{max}^l)^2$$

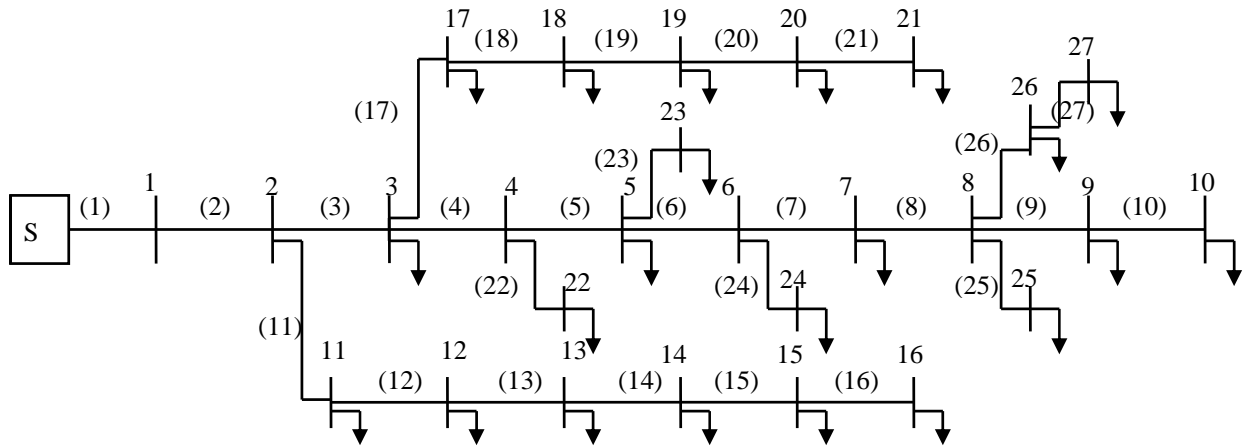
$$I_{max}^l = \begin{cases} I_{\max(ConType_l-1)} & \text{if } I_{\max(ConType_l)} \leq |I_l| \\ , ConType_l \neq 1 \\ I_{\max(ConType_l)} & \text{else} \end{cases} \quad (19)$$

$$V_{min} \leq |V_i| \leq V_{max} \quad (20)$$

$$I_l \leq I_{\max(l)} \quad (21)$$

$$THD_i \leq THD_{max} \quad (22)$$

در این معادلات داریم:



شکل ۲- سیستم توزیع ساعی نمونه ۲۷ شبکه

جبرانسازی توان راکتیو، اندازه بزرگترین خازن  $Q_{\max}^c$  نباید از مجموع کل بار راکتیو سیستم تجاوز کند و این مسئله در این شبیه سازی رعایت شده است. منظور لحاظ کردن مسئله اقتصادی در این مقاله ارزش اقتصادی خازنهای موجود با واحد ارزش واقعی بر  $kvar$  و ارزش اقتصادی هادی ها با واحد ارزش واقعی بر  $Km$  به کار برده شده است.

$I_{\max}^l$  حداکثر جریان مجاز گذرنده از هادی واقع در قسمت  $l$  ام

$THD_{\max}$  مقدار ماکریم اعوجاج کل مجاز

$K_j^c$  ارزش سالانه خازن بر

$ConType_l$  شماره نوع هادی قرار گرفته در قسمت  $l$  ام طبق

جدول (۲)

#### ۴- اجرای بهینه سازی روی یک سیستم نمونه

شبکه نمونه استفاده شده در این مقاله جهت بهینه سازی، شبکه توزیع ساعی شکل (۲) با تعداد ۲۷ شبکه با فرض فرکانس پایه  $60Hz$  می باشد. اطلاعات بار، نوع و طول خطوط این شبکه در جداول (۱) و (۲) آورده شده است. نوع بار در نظر گرفته شده در شبکه های دارای بار، ترکیبی از بار خطی و غیرخطی می باشد. مطلوب این مقاله یافتن مکان و اندازه بهینه خازن ها در هر ۲۷ شبکه و نیز مشخص کردن نوع بهینه هادی ها طبق جدول (۳) است. در این بهینه سازی تنها مشخصه خطوط ۱ و ۲ شبکه شکل (۲) ثابت و مطابق جدول (۲) می باشد. مشخصه و نوع هادی های منتخب جهت جایگذاری در شبکه در جدول (۳) آورده شده است. در این جدول مقدار مقاومت و راکتанс و قیمت در واحد طول ۵ نوع هادی و نیز حداکثر جریان مجاز عبوری از آنها بر حسب آمپر آورده شده است. با توجه به اطلاعات داده شده شده است. جهت بهینه سازی این جداول  $L=25$  و  $J=27$  است. مقدار  $K_p$  برابر با  $168 R_{kw}$  انتخاب و محدوده ولتاژ مؤثر به صورت  $V_{\min} = 10.5p.u$  و  $V_{\max} = 0.92p.u$  در نظر می گیریم. ماکریم  $THD$  مجاز در شبکه جهت بهینه سازی  $3\%$  در نظر گرفته شده است. در محاسبات و شبیه سازی انجام شده کلیه کمیات بر حسب پریونیت در نظر گرفته شده است. مبنای ولتاژ و توان به ترتیب  $23kv$  و  $100VA$  فرض می شود. منظور

جدول ۲: مشخصه مقاومت و راکتанс خطوط ۱ و ۲ شبکه ۲۷ شبکه

شماره شبکه	$R$ [ $\Omega/Km$ ]	$X$ [ $\Omega/Km$ ]
۱	۰/۱۲۳۳	۰/۴۱۲۷
۲	۰/۰۱۴	۰/۶۰۵۱

جدول ۳: مشخصه نوع، اندازه و قیمت هادی های مورد نظر

ماکریم جریان	قیمت [R/Km]	$X$ [ $\Omega/Km$ ]	$R$ [ $\Omega/Km$ ]	نوع هادی (ConType)
۵۲۰	۱۴۳۳۰.۸۴	۰/۲۲۷۷	۰/۱۵۷۶	۱
۳۱۰	۷۶۵۹۰۰	۰/۲۴۶۴	۰/۲۷۱۲	۲
۲۸۸	۶۶۵۴۸۲	۰/۲۵۰۶	۰/۲۷۳۳	۳
۲۱۲	۴۵۴۴۱۰	۰/۲۶۶۴	۰/۴۵۴۵	۴
۱۵۰	۲۸۹۳۵۸	۰/۲۸۳۵	۰/۷۸۲۲	۵

جدول ۴: اندازه و قیمت خازنهای صنعتی ۳ فاز موجود

kvar	اندازه	۱۵۰	۳۰۰	۴۵۰	۶۰۰	۹۰۰	۱۲۰۰
\$ قیمت		۷۵۰	۹۷۵	۱۱۴۰	۱۳۲۰	۱۶۵۰	۲۰۴۰

به مؤلفه اصلی تا فرکانس  $1/50\text{Hz}$  برای ۸ هارمونیک فرد به صورت جدول (۶) مفروض است.

## ۵- نتایج شبیه سازی

نتایج حاصله قبل و بعد از بهینه سازی در جدول (۷) به خوبی نشان داده شده است.

### ۱-۵- قبل از بهینه سازی:

بمنظور مقایسه نتایج برنامه بهینه سازی نوع هادی های شبکه قبل از بهینه سازی مجدداً در جدول (۷) در کنار نتایج حاصله آورده شده است. مقدار ولتاژ مؤثر و مقدار اعوجاج کل  $THD$  مربوط به هر شین قبل و بعد از خازن گذاری و جایابی بهینه هادی ها روی شبکه در جدول (۷) نشان داده شده است. در این حالت ماکریم و مینیمم ولتاژ مؤثر شین های شبکه به ترتیب برابر با  $0.986$  و  $0.796$  پریونیت می باشد که در واقع بیشترین  $THD$  ولتاژ را روی شین شماره ۱۰ شبکه داریم. ماکریم  $THD$  مربوط به شین شماره ۲۷ می باشد که مقدار آن  $6/59$  درصد می باشد. مقدار تلفات کل شبکه در این حالت برابر با  $MW 1/5747$  بوده و هزینه کل بر حسب ریال با احتساب ارزش اقتصادی تلفات برابر با  $152$  میلیون ریال می باشد (باید توجه داشت که این ارقام نسبی بوده و در این شبکه می تواند بیانگر کاهش هزینه اقتصادی باشد).

### ۲-۵- پس از خازن گذاری و انتخاب بهینه هادی ها

بهینه سازی روی تابع هدف ایجاد شده با محدودیتهای مجاز موجود شبکه و هادی های مربوطه صورت گرفته و نتایج آن که شامل نوع بهینه هادی مربوط به هر قسمت، مقدار ظرفیت بانک خازنی، مقدار ولتاژ مؤثر و اعوجاج کل  $THD$  مربوط به هر شین می باشد در جدول (۷) در کنار نتایج قبل از بهینه سازی مقایسه شده است تا بتوان نتایج را با نتایج قبل از بهینه سازی آورده می باشد که در حدوده مجاز ماکریم و مینیمم ولتاژ مؤثر شین های شبکه به ترتیب برابر  $2/00$  و  $0.931$  پریونیت می باشد که در محدوده مجاز ماکریم و مینیمم ولتاژ مؤثر در بهینه سازی مربوطه که به ترتیب برابر با  $1/05$  و  $0.92$  پریونیت بود قرار دارد. حداکثر  $THD$  بدست آمده مربوط به شین شماره ۱۵ می باشد که مقدار آن برابر با  $2/62$  درصد است. مشخص است که این مقدار نیز در محدوده مجاز خود که حداکثر آن  $3$  درصد بود می باشد. تلفات شبکه در این حالت  $700\text{ KW}$  حاصل شده است که در مقایسه با قبل از بهینه سازی کاهش قابل توجهی در حدود  $50\%$  داشته است. مقدار تابع هزینه کل نیز در

جدول ۵: اندازه و قیمت سالیانه خازنهای ثابت قابل انتخاب

۵	۴	۳	۲	۱	شماره خازن
۹۰۰	۶۰۰	۴۵۰	۲۰۰	۱۵۰	اندازه خازن (kvar)
۰/۱۸۳	۰/۲۲	۰/۲۳۵	۰/۳۵	۰/۵	قیمت خازن (\$/kvar)
۱۰	۹	۸	۷	۶	شماره خازن
۱۶۵۰	۱۵۰۰	۱۳۵۰	۱۲۰۰	۱۰۵۰	اندازه خازن (kvar)
۰/۱۹۳	۰/۲۰۱	۰/۲۰۷	۰/۱۷	۰/۲۲۸	قیمت خازن (\$/kvar)
۱۵	۱۴	۱۳	۱۲	۱۱	شماره خازن
۲۷۰۰	۲۵۵۰	۲۱۰۰	۱۹۵۰	۱۸۰۰	اندازه خازن (kvar)
۰/۱۸۷	۰/۱۸۹	۰/۱۷۶	۰/۲۱۱	۰/۱۸۷	قیمت خازن (\$/kvar)
۲۰	۱۹	۱۸	۱۷	۱۶	شماره خازن
۴۰۵۰	۳۷۵۰	۳۴۵۰	۳۰۰۰	۲۸۵۰	اندازه خازن (kvar)
۰/۱۷۹	۰/۱۸۳	۰/۱۸۸	۰/۱۸	۰/۱۸۳	قیمت خازن (\$/kvar)

جدول (۴) یک نمونه از قیمت سالانه خازن های ثابت صنعتی موجود در بازار با اندازه های متفاوت را نشان می دهد. در جدول (۵) قیمت و اندازه بانکهای خازنی قابل انتخاب از جدول (۴) برای سیستم نمونه شکل (۲) نشان داده می شود (این قیمت در واقع مجموع هزینه های خرید و نصب و راه اندازی و نگهداری را نیز شامل می شود).

جدول ۶: مقدار منابع جریان هارمونیکی در هر شین

شماره شین	درصد جریان هارمونیکی نسبت به مؤلفه اصلی در هارمونیک مورد نظر							
	۵	۷	۱۱	۱۳	۱۷	۱۹	۲۳	۲۵
۱	.	.	.	.	.	.	.	.
۲	.	.	.	.	.	.	.	.
۳	.	.	.	.	.	.	.	.
۴	۶/۲	۳/۶	۱/۳	۰/۸	۰/۵	۰/۴	۰/۳	۰/۲
۵	۱۷/۷	۲/۹	۴/۵	۸/۲	۵/۴	۲/۹	۲/۹	۰
۶	.	۹/۶	۵/۸	.	.	۳/۶	۳/۰	
۷	۰/۳	.	.	.	.	.	.	
۸	۰/۸	۰/۵	۰/۲	.	.	.	.	
۹	۱۵/۱	۸/۸	۳/۰	۱/۸	۱/۲	۱/۰	۰/۶	۰/۵
۱۰	.	.	۲/۶	۲/۳	۰/۲	۰/۶	۰/۵	۱/۱
۱۱	۳/۱	۱/۸	۰/۶	۰/۴	۰/۲	۰/۲	۰/۱	۰/۱
۱۲	۶/۲	۳/۶	۱/۳	۰/۸	۰/۵	۰/۴	۰/۳	۰/۲
۱۳	۰/۳	.	.	.	.	۰/۶	.	
۱۴	۰/۸	۰/۵	۰/۲	.	۲/۵	.	.	
۱۵	.	.	۳/۶	۳/۳	۰/۹	۰/۶	۰/۵	۱/۱
۱۶	۹/۱	۵/۳	۱/۸	۱/۲	۰/۷	۰/۶	۰/۴	۰/۳
۱۷	۳/۱	۱/۸	۰/۶	۰/۴	۰/۲	۰/۲	۰/۱	۰/۱
۱۸	۶/۲	۳/۶	۱/۳	۱/۸	۰/۵	۰/۴	۰/۳	۰/۲
۱۹	۱۵/۱	۸/۸	۳/۰	۱/۸	۱/۲	۱/۰	۰/۶	۰/۵
۲۰	.	.	۲/۶	۲/۳	۰/۲	۰/۶	۰/۵	۱/۱
۲۱	۳/۱	۱/۸	۰/۶	۰/۴	۰/۲	۰/۲	۰/۱	۰/۱
۲۲	۶/۲	۳/۶	۱/۳	۰/۸	۰/۵	۰/۴	۰/۳	۰/۲
۲۳	۰/۸	۰/۵	۰/۲	.	.	.	.	
۲۴	.	.	۲/۶	۲/۳	۰/۲	۰/۷	۰/۵	۱/۱
۲۵	۹/۱	۵/۳	۱/۸	۲/۱	۰/۷	۰/۶	۰/۴	۰/۳
۲۶	۱۸/۷	۲/۹	۴/۵	۸/۲	۵/۴	۲/۹	۲/۹	۰
۲۷	.	.	۹/۶	۵/۸	۰/۲	.	۳/۶	۳/۰

درصد جریان هارمونیکی بارهای غیرخطی در این شبکه نسبت

باشد. بهینه کردن این تابع هدف در حالیکه اثر بارهای غیرخطی و محدودیتهای مجاز نیز در آن منظور شده توسط الگوریتم ژنتیک بعلت سرعت بالای همگرایی آن صورت می‌گیرد که در نتیجه این بهینه سازی ظرفیت بانکهای خازنی و نوع هادی‌ها در شبکه توزیع شعاعی بگونه‌ای حاصل شد که علاوه بر کاهش چشمگیر تلفات، هزینه اقتصادی کل نیز کاهش یافت. ظرفیت بانکهای خازنی و نوع هادی بدست آمده در شبکه مطابق با مقادیر موجود آن در صنعت می‌تواند باشد. در نهایت نتایج حاصله برای ولتاژ و مقدار اعوجاج کل شین‌ها پس از بهینه سازی بهبود یافته و در محدوده مجاز خود قرار گرفته و کاهش اقتصادی تلفات حاصل شده است.

## مراجع

- [1] H. N. Ng, M. M. A. Salama, and A.Y. Chikhani, “Classification of capacitor allocation techniques,” IEEE Trans. on Power Delivery, Vol. 15, pp. 387-392, 2000.
- [2] Delfanti, M.; Granelli, G.P.; Marannino, P.; Montagna, M., “Optimal capacitor placement using deterministic and genetic algorithms,” IEEE Trans. on Power Systems, Vol. 15, Issue 3, pp. 1041-1046, 2000.
- [3] Gallego, R.A.; Monticelli, A.J.; Romero, R. “Optimal capacitor placement in radial distribution networks,” IEEE Trans. on Power Systems, Vol. 16, Issue 4, pp. 630-637, 2001.
- [4] Hsiao, Y.-T.; Chien, C.-Y, “Optimisation of capacitor allocation using an interactive trade-off method,” IEE Proceedings, Generation, Transmission and Distribution, Vol. 148, Issue 4, pp. 371-374, 2001.
- [5] Masoum, M.A.S.; Jafarian, A.; Ladjevardi, M.; Fuchs, E.F.; Grady, W.M, “Fuzzy approach for optimal placement and sizing of capacitor banks in the presence of harmonics,” IEEE Trans. on Power Delivery, Vol. 19, Issue 2, pp. 822-829, 2004.
- [6] Masoum, M.A.S.; Ladjevardi, M.; Jafarian, A.; Fuchs, E.F, “Optimal placement, replacement and sizing of capacitor Banks in distorted distribution networks by genetic algorithms,” IEEE Trans. on Power Delivery, Vol. 19, Issue 4, pp.1794-1801, 2004.
- [7] T.M. Khalil, K.M. Youssef, M.M. Abdel Aziz, “A Binary Particle Swarm Optimization for Optimal Placement and Sizing of Capacitor Banks in Radial Distribution Feeders with Distorted Substation Voltages,” AIML 06 International Conference, Sharm El Sheikh, Egypt, 2006.
- [8] Mandal, S.; Pahwa, A, “Optimal selection of conductors for distribution feeders”, IEEE Trans., Power Systems, Vol. 17, Issue 1, pp. 192-197, 2002.
- [9] S. Sivanagaraju, N. Sreenivasulu, M. Vijayakumar, T. Ramana, “Optimal conductor selection for radial distribution”, Electric Power System Research, Vol.

این حالت برابر با ۱۱۷ میلیون ریال شده است که این کاهش ۳۵ میلیون ریالی به علت کاهش تلفات در شبکه و بهینه کردن نوع هادی‌های شبکه از نظر مشخصه می‌باشد. به جهت کاهش مقدار اعوجاج کل در شین‌های شبکه باید هزینه اضافی صورت بگیرد که این هزینه باعث می‌شود مقدار هزینه کل در بهینه سازی نسبت به حالات قبل از بهینه سازی به مقدار کمی کاهش سازی در صورتیکه مسئله کنترل *THD* شین‌ها را در نظر نگیریم مسلماً کاهش هزینه اقتصادی بیشتری را خواهیم داشت.

جدول ۷: نتایج قبل و بعد از بهینه سازی برای شبکه ۲۷ شینه

Section	From	To	Conductor Type before Optimization	Voltage before Optimization [p.u.]	THD before Optimization %	Conductor Type after Optimization	Capacitor Size after Optimization [Kvar]	Voltage after Optimization [p.u.]	THD after Optimization %
۱	۰	۱	-	.۹۸۶	.۴۱	-	۰	.۹۰۲	.۳۳
۲	۱	۲	-	.۹۷۲	.۹۹	-	۴۰۵۰	.۹۰۱۲	.۸۰
۳	۲	۳	۱	.۹۳۷	۱۸۶	۱	۰	.۹۹۸	۱۰۱
۴	۳	۴	۱	.۹۲۴	۲۱۵	۱	۲۸۵۰	.۹۹۴	۱۲۰
۵	۴	۵	۱	.۸۹۰	۳۲۹	۱	۰	.۹۶۸	۱۱۳
۶	۵	۶	۱	.۸۷۷	۳۷۹	۱	۰	.۹۵۶	۱۲۵
۷	۶	۷	۲	.۸۵۸	۴۳۵	۳	۰	.۹۵۴	۱۳۲
۸	۷	۸	۲	.۸۱۵	۵۱۸	۳	۰	.۹۴۹	۱۸۵
۹	۸	۹	۲	.۸۰۲	۶۰۹	۵	۰	.۹۳۷	۱۸۲
۱۰	۹	۱۰	۲	.۷۹۶	۶۱۲۲	۵	۰	.۹۲۱	۱۹۲
۱۱	۱۱	۱۱	۲	.۹۵۹	۱۱۵	۳	۳۷۵۰	.۱۱	۱۲۸
۱۲	۱۱	۱۲	۳	.۹۲۹	۱۵۸	۳	۲۱۰۰	.۹۰۳	۱۹۵
۱۳	۱۲	۱۳	۳	.۹۱۶	۱۷۹	۴	۰	.۹۹۷	۱۹۶
۱۴	۱۳	۱۴	۳	.۹۰۴	۲۰۶	۴	۰	.۹۹۸	۲۰۷
۱۵	۱۴	۱۵	۳	.۸۸۴	۲۶۷	۵	۴۵۰	.۹۷۷	۲۶۲
۱۶	۱۵	۱۶	۳	.۸۷۲	۳۱۹	۵	۹۰۰	.۹۶۷	۲۴۱
۱۷	۳	۱۷	۲	.۹۲۶	۲۱۳	۵	۰	.۹۸۶	۱۴۲
۱۸	۱۷	۱۸	۲	.۹۲۰	۲۲۷	۵	۱۳۵۰	.۹۸۱	۱۸۵
۱۹	۱۸	۱۹	۳	.۹۰۹	۲۴۹	۵	۰	.۹۷۲	۱۸۲
۲۰	۱۹	۲۰	۳	.۹۰۶	۲۵۵	۵	۰	.۹۶۷	۱۸۲
۲۱	۲۰	۲۱	۳	.۹۰۲	۲۶۰	۵	۰	.۹۶۲	۱۸۳
۲۲	۴	۲۲	۳	.۹۲۳	۲۱۵	۵	۰	.۹۹۲	۱۱۹
۲۳	۵	۲۳	۳	.۸۸۱	۳۲۱	۵	۰	.۹۵۴	۱۱۲
۲۴	۶	۲۴	۳	.۸۷۳	۳۸۸	۴	۰	.۹۴۸	۱۳۳
۲۵	۸	۲۵	۳	.۸۱۲	۵۹	۵	۱۰۵۰	.۹۴۷	۱۷۸
۲۶	۸	۲۶	۴	.۸۰۶	۶۵۵	۴	۰	.۹۵۶	۱۹۳
۲۷	۲۶	۲۷	۴	.۸۰۵	۶۱۵۹	۴	۳۶۰۰	.۹۶۱	۲۳۱

## ۶- نتیجه گیری

در این مقاله تابع هدف جدیدی که در واقع هزینه کلی جهت بهینه سازی شبکه توزیع شعاعی می‌باشد تشکیل شد که شامل قیود محدودیت‌های ولتاژ شین‌ها، حداکثر جریان مجازی عبوری از هادی‌ها و مقدار اعوجاج کل مجاز در شین‌ها می‌

- 63, pp. 95-103, 2002.
- [10] Z. Wang, H. Liu, D. C. Yu, X. Wang, H. Song, “*A practical approach to the conductor size selection in planning radial distribution systems*”, IEEE Transaction on Power Delivery, Vol. 15, No. 1, pp. 350-353, 2000.
- [11] Y. Baghzouz and S. Ertem, “*Shunt capacitor sizing for radial distribution feeders with distorted substation voltages*,” IEEE Trans. on Power Delivery, Vol 5, pp 650-657, 1990.
- [12] S. Herraiz, L. Sainz, and J. Cluaib “*Review of Harmonic Load Flow Formulations*,” IEEE Trans. on Power Delivery, Vol. 18, pp. 1079-1087, 2003.
- [13] Acha and M. Madrigal, *Power Systems Harmonics*. John Wiley & Sons, England, 2002.
- [14] T.S. Chung, H.C. Leung, “*A genetic algorithm approach in optimal capacitor selection with harmonic distortion conciderations*,” Electrical Power and Energy systems 21 (Elsevier), pp. 561-569, 1999.

This document was created with Win2PDF available at <http://www.daneprairie.com>.  
The unregistered version of Win2PDF is for evaluation or non-commercial use only.